

1/8

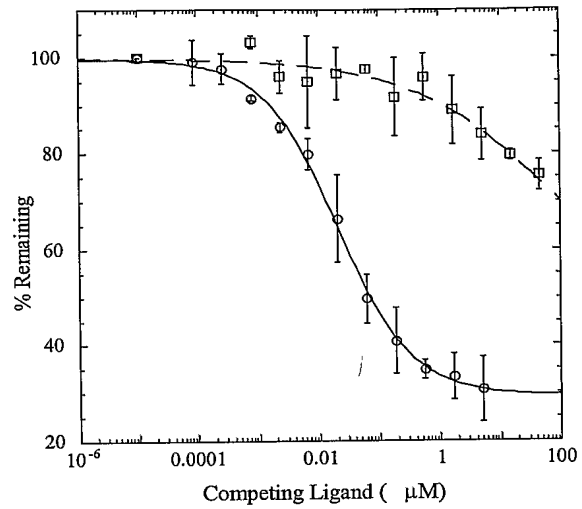


FIG. 1A

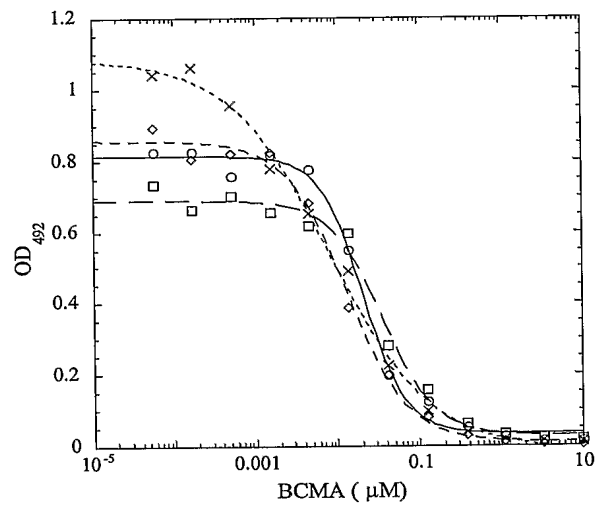


FIG. 1B

2/8

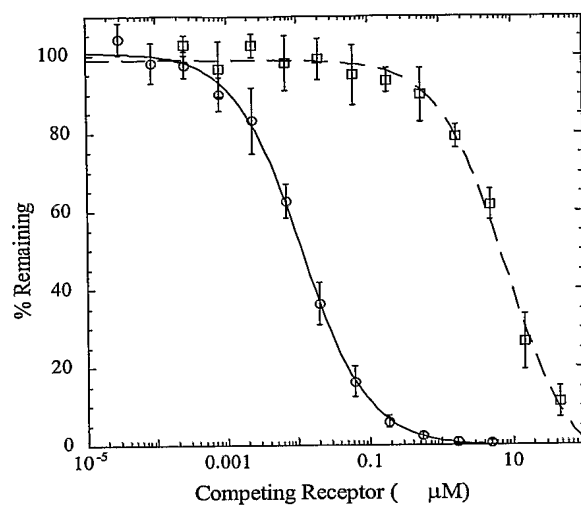


FIG. 1C

3/8

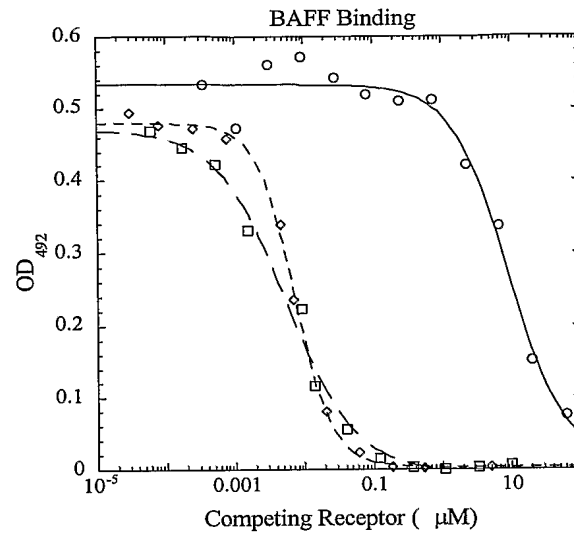


FIG. 2A

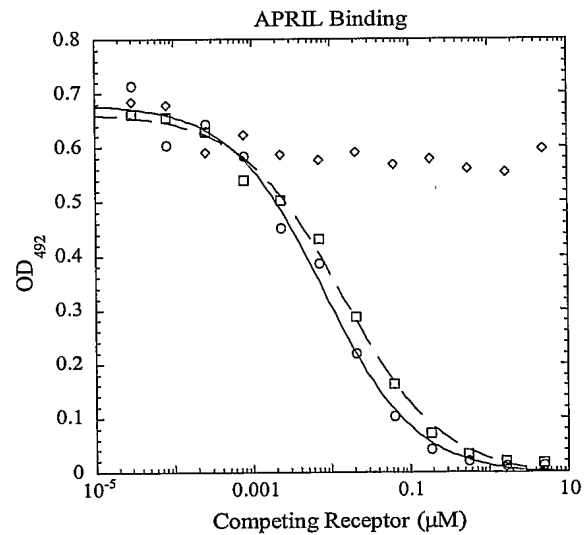


FIG. 2B

4/8

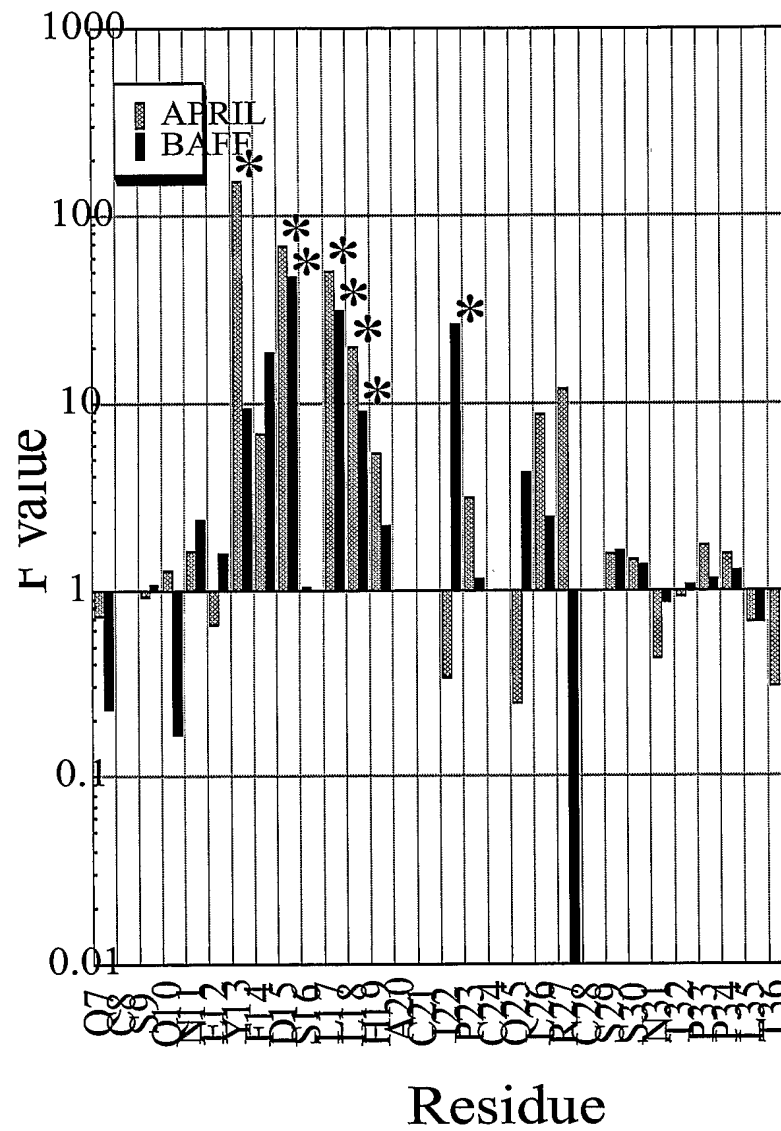


FIG. 3

5/8

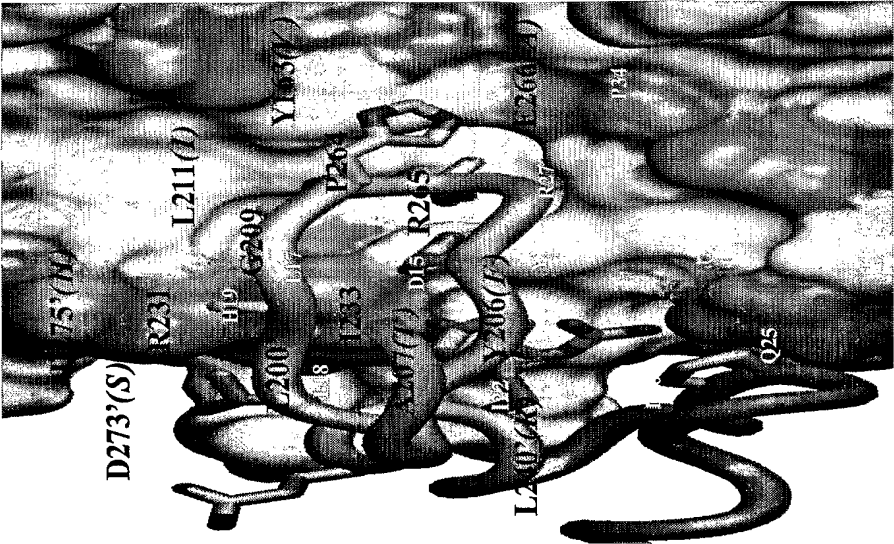


FIG. 4B

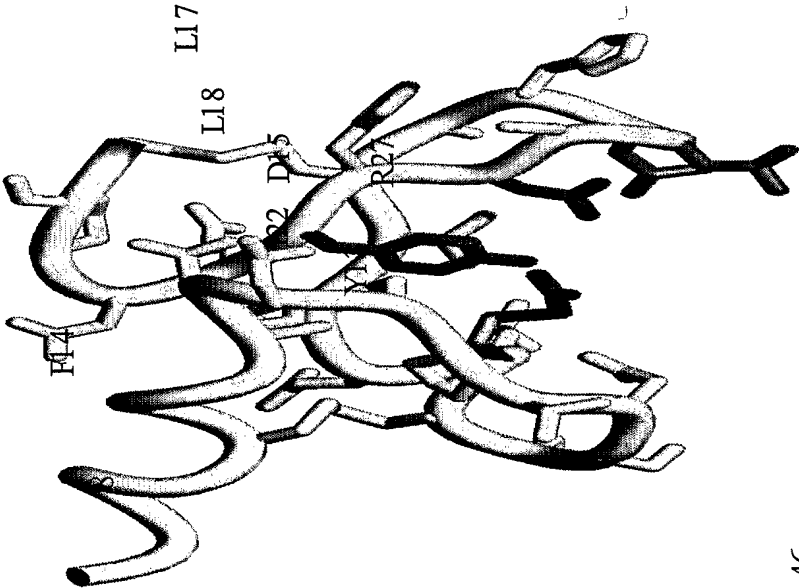


FIG. 4A

6/8

Human BCMA

MLQMAGQCSQ NEYFDSLLHA CIPCQLRCSS
NTPPLTCQRY CNASVTNSVK GTNAILWTCL
GLSLIISLAV FVLMFLLRKI NSEPLKDEFK
NTGSGLLGMA NIDLEKSRTG DEIILPRGLE
YTVEECTCED CIKSKPKVDS DHCFLPAME
EGATILVTTK TNDYCKSLPA ALSATEIEKS
ISAR

MiniBR3

TPCVPAECFDLLVRHCVACGLLRTPR

FIG. 5

7/8

BCMA- (I22K) -Fc fusion

MSALLILALVGAAVASTAGQCSQNEYFDSLLHAC (K)
PCQLRCSSNTPPLTCQRYCNASVTNSVKGVTDKAAHY
TLCPPCPAPELLGGPSVFLFPPKPKDTLMISRTPEVT
CVVVDVSHEDPEVKFNWYVDGVEVHNAKTKPREEQYN
STYRVVSVLTVLHQDWLNGKEYKCKVSNKALPAPIEK
TISKAKGQPREPQVYTLPPSREEMTKNQVSLTCLVKG
FYPSDIAVEWESNGQPENNYKTTPPVLDSDGSFFLYS
KLTVDKSRWQQGNVFSCSVMHEALHNHYTQKSLSLSP
GKO

8/8

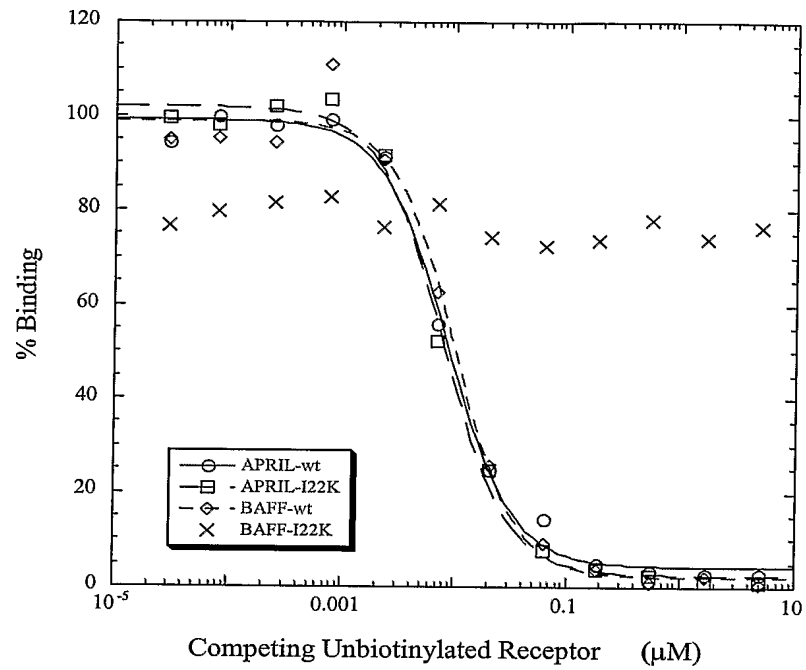


FIG. 7